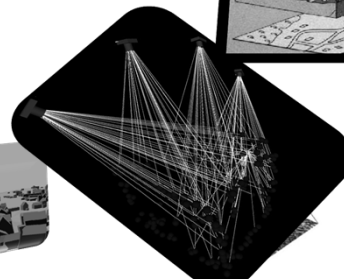
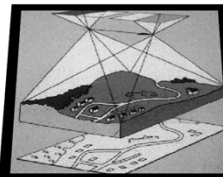


مثلث بندی هوایی

مفهوم و روشها

حیدر راستی ویس

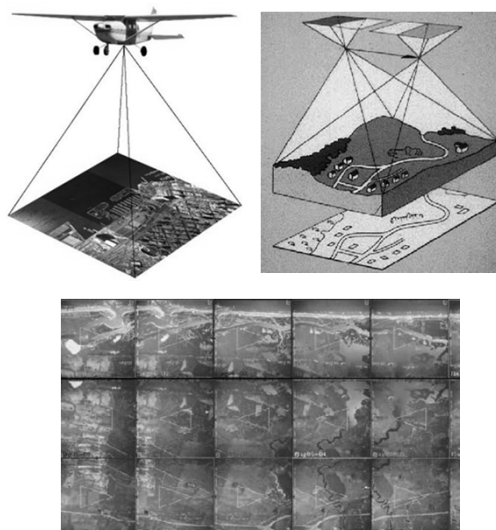
May 12



فهرست مطالب

- مقدمه
- مفهوم مثلث بندی هوایی
- روش‌های مثلث بندی هوایی
 - روش دسته اشعه
 - روش مدل مستقل
 - روش مدل پیوسته

مقدمه

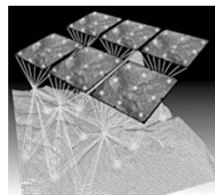


3

مفهوم مثلث بندی هوایی

۰ تعریف مثلثبندی:

- مثلث بندی هوایی اصطلاح کلی روش‌های فتوگرامتری برای بدست آوردن مختصات زمینی(شئی) با استفاده از یک سری عکس‌های پوشش دار میباشد.



۰ روش‌های مثلث بندی

• مثلثبندی دستگاهی(دستی)

◦ مثلث بندی شعاعی

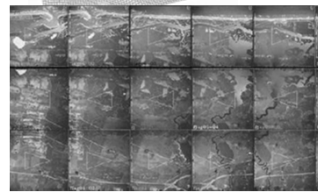
◦ مثلث بندی دستگاهی تک باند به صورت جدا

• مثلثبندی تحلیلی

◦ روش باندل اجسمنت (دسته اشعه)

◦ روش مدل مستقل

◦ روش مدل پیوسته

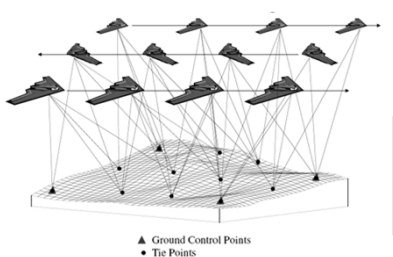


4

روشهای مثلث بندی هوایی

۰ روش باندل اجسمنت (دسته اشعه)

- از معادلات شرط هم خطی استفاده میشود.
- مشاهدات:
- مختصات عکسی نقاط کنترل و گرهی
- مجھولات:
- مختصات زمینی نقاط گرهی
- پارامترهای توجیه خارجی عکسها



$$x_{ij} = x_{oj} - f \frac{m_{11}^j (X_i - X_{ij}) + m_{12}^j (Y_i - Y_{ij}) + m_{13}^j (Z_i - Z_{ij})}{m_{31}^j (X_i - X_{ij}) + m_{32}^j (Y_i - Y_{ij}) + m_{33}^j (Z_i - Z_{ij})}$$

$$y_{ij} = y_{oj} - f \frac{m_{21}^j (X_i - X_{ij}) + m_{22}^j (Y_i - Y_{ij}) + m_{23}^j (Z_i - Z_{ij})}{m_{31}^j (X_i - X_{ij}) + m_{32}^j (Y_i - Y_{ij}) + m_{33}^j (Z_i - Z_{ij})}$$

5

روشهای مثلث بندی هوایی

۰ روش باندل اجسمنت (دسته اشعه)

- معادلات نقاط کنترل:

$$\begin{bmatrix} J \\ K \end{bmatrix}_j + \begin{bmatrix} V_x \\ V_y \end{bmatrix}_j = \begin{bmatrix} b_{11} & b_{12} & b_{13} & -b_{14} & -b_{15} & -b_{16} \\ b_{21} & b_{22} & b_{23} & -b_{24} & -b_{25} & -b_{26} \end{bmatrix}_j \begin{bmatrix} d\omega \\ d\varphi \\ d\kappa \\ dX_L \\ dY_L \\ dZ_L \end{bmatrix}_j$$

$$F_{ij} + V_{ij} = B_{ij} \cdot dP_j$$

- معادلات نقاط گرهی:

$$\begin{bmatrix} J \\ K \end{bmatrix}_j + \begin{bmatrix} V_x \\ V_y \end{bmatrix}_j = \begin{bmatrix} b_{11} & b_{12} & b_{13} & -b_{14} & -b_{15} & -b_{16} \\ b_{21} & b_{22} & b_{23} & -b_{24} & -b_{25} & -b_{26} \end{bmatrix}_j \begin{bmatrix} d\omega \\ d\varphi \\ d\kappa \\ dX_L \\ dY_L \\ dZ_L \end{bmatrix}_j + \begin{bmatrix} b_{14} & b_{15} & b_{16} \\ b_{24} & b_{25} & b_{26} \end{bmatrix}_j \begin{bmatrix} dX \\ dY \\ dZ \end{bmatrix}_i$$

$$F_{ij} + V_{ij} = B_{ij} \cdot dP_j + C_{ij} \cdot dX_i$$

6

روشهای مثلث بندی هوایی

۰ روش باندل اجسمنت (دسته اشعه)

- معادلات نقطه کنترل ارتفاعی:

$$\begin{bmatrix} J \\ K \end{bmatrix}_{ij} + \begin{bmatrix} V_x \\ V_y \end{bmatrix}_{ij} = \begin{bmatrix} b_{11} & b_{12} & b_{13} & -b_{14} & -b_{15} & -b_{16} \\ b_{21} & b_{22} & b_{23} & -b_{24} & -b_{25} & -b_{26} \end{bmatrix}_{ij} \begin{bmatrix} d\omega \\ d\varphi \\ d\kappa \\ dX_L \\ dY_L \\ dZ_L \end{bmatrix}_j + \begin{bmatrix} b_{14} & b_{15} \\ b_{24} & b_{25} \end{bmatrix}_{ij} \begin{bmatrix} dX \\ dY \end{bmatrix}_j$$

$$F_{ij} + V_{ij} = B_{ij} \cdot dP_j + CH_{ij} \cdot dX_i$$

• معادلات نقاط کنترل مسطحاتی:

$$\begin{bmatrix} J \\ K \end{bmatrix}_{ij} + \begin{bmatrix} V_x \\ V_y \end{bmatrix}_{ij} = \begin{bmatrix} b_{11} & b_{12} & b_{13} & -b_{14} & -b_{15} & -b_{16} \\ b_{21} & b_{22} & b_{23} & -b_{24} & -b_{25} & -b_{26} \end{bmatrix}_{ij} \begin{bmatrix} d\omega \\ d\varphi \\ d\kappa \\ dX_L \\ dY_L \\ dZ_L \end{bmatrix}_j + \begin{bmatrix} b_{16} \\ b_{26} \end{bmatrix}_{ij} [dZ]_j$$

$$F_{ij} + V_{ij} = B_{ij} \cdot dP_j + CP_{ij} \cdot dX_i$$

7

روشهای مثلث بندی هوایی

۰ روش باندل اجسمنت (دسته اشعه)

- مثال

1△ 2★	1△ 2★ 3△	★2 3△
4★ 5★	★4 5★ 6★	★5 6★
7○ 8★	○7 ★8 ○9	★8 ○9

○7 8★	○7 ★8 ○9	★8 ○9
★ 11 10★	★10 11★ 12★	★1 12★
△13 14	△13 □14 △15	□14 △15

★ نقطه گرهی

△ نقطه کنترل کامل

□ نقطه کنترل مسطحاتی

○ نقطه کنترل ارتفاعی

- معادلات:

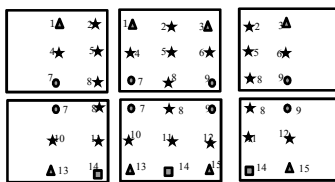
معادلات شرط همخطی: $(6+9+6+6+9+6)*2 = 84$

- مجھولات:

تجییه خارجی: $6*6=36$ مختصات زمینی نقاط گرهی: $8*3=24$ مختصات x, y نقاط کنترل ارتفاعی: $2*2=4$ مختصات z نقاط کنترل مسطحاتی: $1*1=1$

8

روشهای مثلث بندی هوایی



۰ روش باندل اجسمنت (دسته اشعه)

• مثال

$$\Delta = [P_1 \ P_2 \ P_3 \ P_4 \ P_5 \ P_6 \ T_2 \ T_4 \ T_5 \ T_6 \ T_8 \ T_{10} \ T_{11} \ T_{12} \ H_7 \ H_9 \ PL_{14}]$$

$$P_j = [d\omega \ d\varphi \ d\kappa \ dX_L \ dY_L \ dZ_L]_j$$

$$T_i = [dX \ dY \ dZ]$$

$$H_i = [dX \ dY]$$

$$PL_i = [dZ]$$

9

روشهای مثلث بندی هوایی

۰ روش باندل اجسمنت (دسته اشعه)

• مثال

$$\begin{aligned} \left[\begin{matrix} J \\ K \end{matrix} \right]_q + \left[\begin{matrix} V_x \\ V_y \end{matrix} \right]_q &= \left[\begin{matrix} b_{11} & b_{12} & b_{13} & -b_{14} & -b_{15} & -b_{16} \\ b_{21} & b_{22} & b_{23} & -b_{24} & -b_{25} & -b_{26} \end{matrix} \right]_q \begin{bmatrix} d\omega \\ d\varphi \\ d\kappa \\ dX_L \\ dY_L \\ dZ_L \end{bmatrix}_j + \left[\begin{matrix} b_{14} & b_{15} & b_{16} \\ b_{24} & b_{25} & b_{26} \end{matrix} \right]_q \begin{bmatrix} dX \\ dY \\ dZ \end{bmatrix}_i \\ \left[\begin{matrix} J \\ K \end{matrix} \right]_q + \left[\begin{matrix} V_x \\ V_y \end{matrix} \right]_q &= \left[\begin{matrix} b_{11} & b_{12} & b_{13} & -b_{14} & -b_{15} & -b_{16} \\ b_{21} & b_{22} & b_{23} & -b_{24} & -b_{25} & -b_{26} \end{matrix} \right]_q \begin{bmatrix} d\omega \\ d\varphi \\ d\kappa \\ dX_L \\ dY_L \\ dZ_L \end{bmatrix}_j + \left[\begin{matrix} b_{14} & b_{15} \\ b_{24} & b_{25} \end{matrix} \right]_q \begin{bmatrix} dX \\ dY \end{bmatrix}_i \\ \left[\begin{matrix} J \\ K \end{matrix} \right]_q + \left[\begin{matrix} V_x \\ V_y \end{matrix} \right]_q &= \left[\begin{matrix} b_{11} & b_{12} & b_{13} & -b_{14} & -b_{15} & -b_{16} \\ b_{21} & b_{22} & b_{23} & -b_{24} & -b_{25} & -b_{26} \end{matrix} \right]_q \begin{bmatrix} d\omega \\ d\varphi \\ d\kappa \\ dX_L \\ dY_L \\ dZ_L \end{bmatrix}_j + \left[\begin{matrix} b_{16} \\ b_{26} \end{matrix} \right]_q \begin{bmatrix} dZ \end{bmatrix}_i \\ \left[\begin{matrix} J \\ K \end{matrix} \right]_q + \left[\begin{matrix} V_x \\ V_y \end{matrix} \right]_q &= \left[\begin{matrix} b_{11} & b_{12} & b_{13} & -b_{14} & -b_{15} & -b_{16} \\ b_{21} & b_{22} & b_{23} & -b_{24} & -b_{25} & -b_{26} \end{matrix} \right]_q \begin{bmatrix} d\omega \\ d\varphi \\ d\kappa \\ dX_L \\ dY_L \\ dZ_L \end{bmatrix}_j + \left[\begin{matrix} d\omega \\ d\varphi \\ d\kappa \\ dX_L \\ dY_L \\ dZ_L \end{matrix} \right]_j \end{aligned}$$

10

1▲	★
★	5★
7○	8★
● 7	8●
★ 0	★
△ 13	14

1▲	2★	3▲
★ 4	5★	6★
● 7	8	9○
★ 10	11★	12★
△ 13	14	15

★ 2	▲
★ 5	6★
★ 8	9○

روشهای مثلث بندی هوایی

◦ روش باندل اجسمت (دسته اشعه)

• مثال
11

$$\Delta = [P_1 \ P_2 \ P_3 \ P_4 \ P_5 \ P_6 \ P_7 \ T_2 \ T_4 \ T_5 \ T_6 \ T_8 \ T_{10} \ T_{11} \ T_{12} \ H_7 \ H_9 \ PL_{14}]$$

$$A = \begin{bmatrix} B_{11} & & & & C_{n1} & & & & & CH_{n1} \\ B_{12} & B_{11} & & & C_{n2} & & & & & \\ B_{13} & B_{12} & B_{11} & & C_{n3} & & & & & \\ B_{14} & B_{13} & B_{12} & B_{11} & C_{n4} & & & & & \\ B_{21} & B_{22} & B_{23} & B_{24} & C_{n2} & C_{n3} & & & & CH_{n2} \\ B_{22} & B_{21} & B_{23} & B_{24} & & C_{n2} & C_{n3} & & & \\ B_{23} & B_{22} & B_{21} & B_{24} & & & C_{n3} & & & \\ B_{24} & B_{23} & B_{22} & B_{21} & & & & C_{n4} & & \\ B_{31} & B_{32} & B_{33} & B_{34} & & & & & C_{n1} & \\ B_{32} & B_{31} & B_{33} & B_{34} & & & & & & CH_{n3} \\ B_{33} & B_{32} & B_{31} & B_{34} & & & & & & \\ B_{34} & B_{33} & B_{32} & B_{31} & & & & & & \\ \vdots & \vdots & \vdots & \vdots & & & & & & \\ B_{41} & B_{42} & B_{43} & B_{44} & C_{n4} & C_{n1} & & & & CP_{14,1} \\ B_{42} & B_{41} & B_{43} & B_{44} & & C_{n2} & C_{n1} & & & \\ B_{43} & B_{42} & B_{41} & B_{44} & & & C_{n3} & & & \\ B_{44} & B_{43} & B_{42} & B_{41} & & & & C_{n4} & & \\ \vdots & \vdots & \vdots & \vdots & & & & & & \\ B_{11,i} & B_{12,i} & B_{13,i} & B_{14,i} & & & & & & \\ B_{12,i} & B_{11,i} & B_{13,i} & B_{14,i} & & & & & & \\ B_{13,i} & B_{12,i} & B_{11,i} & B_{14,i} & & & & & & \\ B_{14,i} & B_{13,i} & B_{12,i} & B_{11,i} & & & & & & \\ \vdots & \vdots & \vdots & \vdots & & & & & & \\ B_{n1,i} & B_{n2,i} & B_{n3,i} & B_{n4,i} & & & & & & \\ B_{n2,i} & B_{n1,i} & B_{n3,i} & B_{n4,i} & & & & & & \\ B_{n3,i} & B_{n2,i} & B_{n1,i} & B_{n4,i} & & & & & & \\ B_{n4,i} & B_{n3,i} & B_{n2,i} & B_{n1,i} & & & & & & \end{bmatrix}$$

$$L = \begin{bmatrix} F_{11} \\ F_{12} \\ F_{13} \\ F_{14} \\ F_{21} \\ F_{22} \\ F_{23} \\ F_{24} \\ F_{31} \\ F_{32} \\ F_{33} \\ F_{34} \\ F_{41} \\ F_{42} \\ F_{43} \\ F_{44} \\ F_{11,i} \\ F_{12,i} \\ F_{13,i} \\ F_{14,i} \\ F_{21,i} \\ F_{22,i} \\ F_{23,i} \\ F_{24,i} \\ F_{31,i} \\ F_{32,i} \\ F_{33,i} \\ F_{34,i} \\ F_{41,i} \\ F_{42,i} \\ F_{43,i} \\ F_{44,i} \end{bmatrix}$$

$$F_{ij} + V_{ij} = B_{ij} \cdot dP_j$$

$$F_{ij} + V_{ij} = B_{ij} \cdot dP_j + C_{ij} \cdot dX_i$$

$$F_{ij} + V_{ij} = B_{ij} \cdot dP_j + CH_{ij} \cdot dX_i$$

$$F_{ij} + V_{ij} = B_{ij} \cdot dP_j + CP_{ij} \cdot dX_i$$

روشهای مثلث بندی هوایی

◦ روش باندل اجسمت (دسته اشعه)

◦ مقادیر اولیه؟

◦ امکا و فی را صفر میگیریم و برای بقیه پارامترها از یک کانفورمال دو بعدی استفاده میکنیم.

◦ معادلات نقاط کنترل

◦ معادلات نقاط گرهی

12

$$\begin{bmatrix} X \\ Y \end{bmatrix}_i = \begin{bmatrix} x & y & 1 & 0 \\ y & -x & 0 & 1 \end{bmatrix}_q \begin{bmatrix} a \\ b \\ c \\ d \end{bmatrix}_j$$

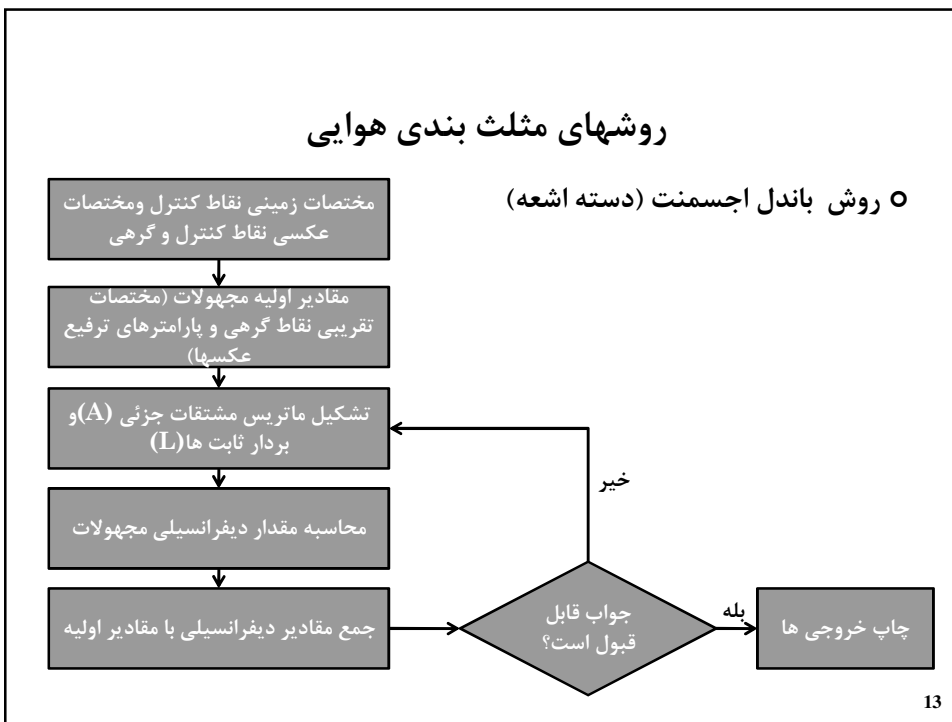
$$\begin{bmatrix} 0 \\ 0 \end{bmatrix} = \begin{bmatrix} x & y & 1 & 0 \\ y & -x & 0 & 1 \end{bmatrix}_q \begin{bmatrix} a \\ b \\ c \\ d \end{bmatrix}_j + \begin{bmatrix} -1 & 0 \\ 0 & -1 \end{bmatrix} \begin{bmatrix} X \\ Y \end{bmatrix}_i$$

◦ بعد از محاسبه پارامترهای کانفورمال میتوان سایر پارامترها را حساب کرد.

◦ مختصات نقاط گرهی نیز همزمان بدست میآیند.

روشهای مثلث بندی هوایی

۰ روش باندل اجسمنت (دسته اشعه)



13

روشهای مثلث بندی هوایی

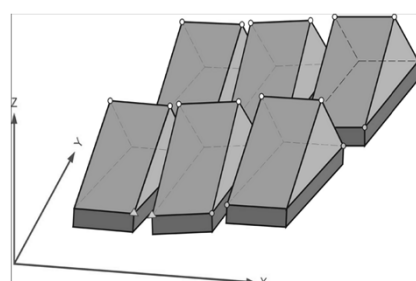
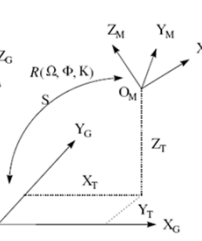
۰ روش مدل مستقل

- ورودی در اینجا مختصات مدلی میباشد.
- مانند توجیه مطلق است ولی به صورت همزمان برای n مدل

• حل به صورت همزمان :

M7

• حل به صورت دو مرحله ای:



14

روشهای مثلث بندی هوایی

۰ روش مدل مستقل

• حل به صورت همزمان : M7

۰ از معادلات کانفورمال سه بعدی استفاده میشود.

۰ برای نقاط کنترل میتوان ۳ معادله کانفورمال را بصورت زیر نوشت.

$$\begin{bmatrix} X_g \\ Y_g \\ Z_g \end{bmatrix} = \begin{bmatrix} X_T \\ Y_T \\ Z_T \end{bmatrix} + SR(\Omega, \Phi, K) \begin{bmatrix} X_m \\ Y_m \\ Z_m \end{bmatrix}$$

۰ برای نقاط گرهی و مراکز تصویر مشترک میتوان از معادلات زیر استفاده کرد.

$$\begin{bmatrix} 0 \\ 0 \\ 0 \end{bmatrix} = \begin{bmatrix} X_T \\ Y_T \\ Z_T \end{bmatrix} + SR(\Omega, \Phi, K) \begin{bmatrix} X_m \\ Y_m \\ Z_m \end{bmatrix} - \begin{bmatrix} 1 & 0 & 0 \\ 0 & 1 & 0 \\ 0 & 0 & 1 \end{bmatrix} \begin{bmatrix} X_g \\ Y_g \\ Z_g \end{bmatrix}$$

15

روشهای مثلث بندی هوایی

۰ روش مدل مستقل

• حل به صورت همزمان : M7

$$F = X_T + S[r_{11} \quad r_{12} \quad r_{13}] \begin{bmatrix} X_m \\ Y_m \\ Z_m \end{bmatrix} - X_g = 0$$

$$G = Y_T + S[r_{21} \quad r_{22} \quad r_{23}] \begin{bmatrix} X_m \\ Y_m \\ Z_m \end{bmatrix} - Y_g = 0$$

$$H = Z_T + S[r_{31} \quad r_{32} \quad r_{33}] \begin{bmatrix} X_m \\ Y_m \\ Z_m \end{bmatrix} - Z_g = 0$$

$$\begin{bmatrix} X_g \\ Y_g \\ Z_g \end{bmatrix} = \begin{bmatrix} X_T \\ Y_T \\ Z_T \end{bmatrix} + SR(\Omega, \Phi, K) \begin{bmatrix} X_m \\ Y_m \\ Z_m \end{bmatrix}$$

16

روشهای مثلث بندی هوایی

۰ روش مدل مستقل

- حل به صورت همزمان :

$$\begin{aligned} F &= F^0 + \left(\frac{\partial F}{\partial S} \right) dS + \left(\frac{\partial F}{\partial Q} \right) dQ + \left(\frac{\partial F}{\partial \Phi} \right) d\Phi + \left(\frac{\partial F}{\partial K} \right) dK + \left(\frac{\partial F}{\partial X_r} \right) dX_r + \left(\frac{\partial F}{\partial Y_r} \right) dY_r + \left(\frac{\partial F}{\partial Z_r} \right) dZ_r + \left(\frac{\partial F}{\partial X_g} \right) dX_g + \left(\frac{\partial F}{\partial Y_g} \right) dY_g + \left(\frac{\partial F}{\partial Z_g} \right) dZ_g = 0 \\ G &= G^0 + \left(\frac{\partial G}{\partial S} \right) dS + \left(\frac{\partial G}{\partial Q} \right) dQ + \left(\frac{\partial G}{\partial \Phi} \right) d\Phi + \left(\frac{\partial G}{\partial K} \right) dK + \left(\frac{\partial G}{\partial X_r} \right) dX_r + \left(\frac{\partial G}{\partial Y_r} \right) dY_r + \left(\frac{\partial G}{\partial Z_r} \right) dZ_r + \left(\frac{\partial G}{\partial X_g} \right) dX_g + \left(\frac{\partial G}{\partial Y_g} \right) dY_g + \left(\frac{\partial G}{\partial Z_g} \right) dZ_g = 0 \\ H &= H^0 + \left(\frac{\partial H}{\partial S} \right) dS + \left(\frac{\partial H}{\partial Q} \right) dQ + \left(\frac{\partial H}{\partial \Phi} \right) d\Phi + \left(\frac{\partial H}{\partial K} \right) dK + \left(\frac{\partial H}{\partial X_r} \right) dX_r + \left(\frac{\partial H}{\partial Y_r} \right) dY_r + \left(\frac{\partial H}{\partial Z_r} \right) dZ_r + \left(\frac{\partial H}{\partial X_g} \right) dX_g + \left(\frac{\partial H}{\partial Y_g} \right) dY_g + \left(\frac{\partial H}{\partial Z_g} \right) dZ_g = 0 \end{aligned}$$

$$\begin{bmatrix} -F^0 \\ -G^0 \\ -H^0 \end{bmatrix}_g = \begin{bmatrix} \left(\frac{\partial F}{\partial S} \right) & \left(\frac{\partial F}{\partial Q} \right) & \left(\frac{\partial F}{\partial \Phi} \right) & \left(\frac{\partial F}{\partial K} \right) & \left(\frac{\partial F}{\partial X_r} \right) & \left(\frac{\partial F}{\partial Y_r} \right) & \left(\frac{\partial F}{\partial Z_r} \right) \\ \left(\frac{\partial G}{\partial S} \right) & \left(\frac{\partial G}{\partial Q} \right) & \left(\frac{\partial G}{\partial \Phi} \right) & \left(\frac{\partial G}{\partial K} \right) & \left(\frac{\partial G}{\partial X_r} \right) & \left(\frac{\partial G}{\partial Y_r} \right) & \left(\frac{\partial G}{\partial Z_r} \right) \\ \left(\frac{\partial H}{\partial S} \right) & \left(\frac{\partial H}{\partial Q} \right) & \left(\frac{\partial H}{\partial \Phi} \right) & \left(\frac{\partial H}{\partial K} \right) & \left(\frac{\partial H}{\partial X_r} \right) & \left(\frac{\partial H}{\partial Y_r} \right) & \left(\frac{\partial H}{\partial Z_r} \right) \end{bmatrix}_g \begin{bmatrix} dS \\ dQ \\ d\Phi \\ dK \\ dX_r \\ dY_r \\ dZ_r \end{bmatrix}_g + \begin{bmatrix} \left(\frac{\partial F}{\partial X_g} \right) & \left(\frac{\partial F}{\partial Y_g} \right) & \left(\frac{\partial F}{\partial Z_g} \right) \\ \left(\frac{\partial G}{\partial X_g} \right) & \left(\frac{\partial G}{\partial Y_g} \right) & \left(\frac{\partial G}{\partial Z_g} \right) \\ \left(\frac{\partial H}{\partial X_g} \right) & \left(\frac{\partial H}{\partial Y_g} \right) & \left(\frac{\partial H}{\partial Z_g} \right) \end{bmatrix}_g \begin{bmatrix} dX_g \\ dY_g \\ dZ_g \end{bmatrix}_g,$$

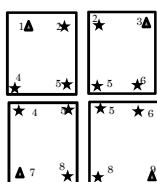
$$L_{ij} = B_{ij} P_j + C_{ij} dX_i$$

17

روشهای مثلث بندی هوایی

۰ روش مدل مستقل

- حل به صورت همزمان :
- مثال:



• تعداد مجھولات: 49

◦ پارامتر 7*مدل 4=28

◦ مختصات زمینی 5*3=15

◦ مختصات زمینی 3*3=9 مرکز تصویر مشترک 2

• تعداد معادلات: 60

◦ مرکز تصویر مشترک 1+3+گرهی 3=15

18

روشهای مثلث بندی هوایی

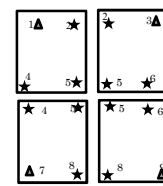
$$L_{ij} = B_{ij} P_j + C_{ij} dX_i$$

۰ روش مدل مستقل

• حل به صورت همزمان : M7

• مثال:

$$A = \begin{bmatrix} B_{11} & & & & & & & \\ B_{21} & C_{21} & & & & & & \\ B_{41} & & C_{41} & & & & & \\ B_{51} & & & C_{51} & & & & \\ B_{pe11} & & & & C_{pe12} & & & \\ B_{22} & & C_{22} & & & L_{21} & & \\ B_{32} & & & C_{32} & & L_{31} & & \\ B_{52} & & & C_{52} & & L_{51} & & \\ B_{62} & & & C_{62} & & L_{61} & & \\ B_{pe12} & & & & C_{pe12} & L_{pe11} & & \\ B_{43} & & C_{43} & & & L_{22} & & \\ B_{53} & & C_{53} & & & L_{32} & & \\ B_{73} & & & C_{73} & & L_{52} & & \\ B_{83} & & & C_{83} & & L_{62} & & \\ B_{pe23} & & C_{pe23} & & & L_{pe12} & & \\ B_{54} & & C_{54} & & & L_{43} & & \\ B_{64} & & C_{64} & & & L_{53} & & \\ B_{84} & & C_{84} & & & L_{73} & & \\ B_{pe24} & & & & C_{pe24} & L_{pe23} & & \\ & & & & & L_{54} & & \\ & & & & & L_{64} & & \\ & & & & & L_{84} & & \\ & & & & & L_{94} & & \\ & & & & & L_{pe24} & & \end{bmatrix}$$



19

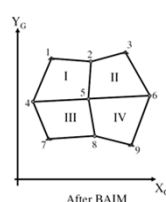
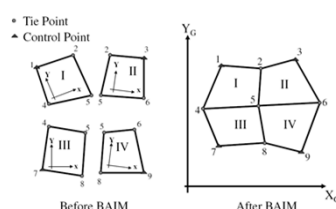
روشهای مثلث بندی هوایی

۰ روش مدل مستقل

• روش دو مرحله ای

۰ مرحله مسطحاتی M4

• حل یکجای پارامترهای مسطحاتی



۰ مرحله ارتفاعی M3

• حل یکجای پارامترهای ارتفاعی

20

روشهای مثلث بندی هوایی

۰ روش مدل مستقل

- روش دو مرحله ای
- M4 ◦

◦ مدلها از نظر مسطحاتی نسبت به یکدیگر توجیه میشوند.
◦ از کانفورمال دو بعدی استفاده میشود.

$$\begin{bmatrix} X \\ Y \end{bmatrix}_i = \begin{bmatrix} x & y & 1 & 0 \\ y & -x & 0 & 1 \end{bmatrix}_g \begin{bmatrix} a \\ b \\ c \\ d \end{bmatrix}_j$$

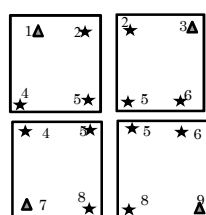
$$F_{ij} + V_{ij} = B_{ij} \cdot dP_j$$

$$\begin{bmatrix} 0 \\ 0 \end{bmatrix} = \begin{bmatrix} x & y & 1 & 0 \\ y & -x & 0 & 1 \end{bmatrix}_g \begin{bmatrix} a \\ b \\ c \\ d \end{bmatrix}_j + \begin{bmatrix} -1 & 0 \\ 0 & -1 \end{bmatrix} \begin{bmatrix} X \\ Y \end{bmatrix}_i$$

$$F_{ij} + V_{ij} = B_{ij} \cdot dP_j + C_{ij} \cdot dX_i$$

21

روشهای مثلث بندی هوایی



۰ روش مدل مستقل

- روش دو مرحله ای
- M4 ◦
- مثال

- معادلات:

معادلات کانفورمال دو بعدی: $(4+4+4+4)*2 = 32$

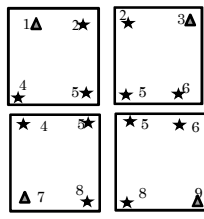
- مجھولات:

پارامترهای M4: $4*4=16$

مختصات زمینی نقاط گرهی: $5*2=10$

22

روشهای مثلث بندی هوایی



روش مدل مستقل

- روش دو مرحله ای

M4 o

مثال o

معادلات:

$$(4+4+4+4)*2 = 32 \text{ معادلات کانفورمال دو بعدی:}$$

$$\begin{bmatrix} X \\ Y \end{bmatrix}_i = \begin{bmatrix} x & y & 1 & 0 \\ y & -x & 0 & 1 \end{bmatrix}_y \begin{bmatrix} a \\ b \\ c \\ d \end{bmatrix}_j$$

$$F_{ij} + V_{ij} = B_{ij} \cdot P_j$$

$$\begin{bmatrix} 0 \\ 0 \end{bmatrix} = \begin{bmatrix} x & y & 1 & 0 \\ y & -x & 0 & 1 \end{bmatrix}_y \begin{bmatrix} a \\ b \\ c \\ d \end{bmatrix}_j + \begin{bmatrix} -1 & 0 \\ 0 & -1 \end{bmatrix} \begin{bmatrix} X \\ Y \end{bmatrix}_i$$

$$F_{ij} + V_{ij} = B_{ij} \cdot P_j + C_{ij} \cdot dX_i$$

مجهولات:

$$\Delta = [P_1 \quad P_2 \quad P_3 \quad P_4 \quad XY_2 \quad XY_4 \quad XY_5 \quad XY_6 \quad XY_8]$$

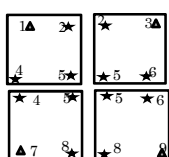
$$P_j = [a \quad b \quad c \quad d]_j \quad XY_i = [X \quad Y]_i$$

$$4*4=16: M4$$

$$5*2=10: \text{مختصات زمینی نقاط گرهی}$$

23

روشهای مثلث بندی هوایی



روش مدل مستقل

- روش دو مرحله ای

M4 o

مثال o

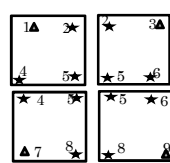
$$\Delta = [P_1 \quad P_2 \quad P_3 \quad P_4 \quad XY_2 \quad XY_4 \quad XY_5 \quad XY_6 \quad XY_8]^t$$

$$A = \begin{bmatrix} B_{11} & & & & & & & & \\ B_{21} & C_{21} & & & & & & & \\ B_{41} & & C_{41} & & & & & & \\ B_{51} & & & C_{51} & & & & & \\ B_{22} & & C_{22} & & & & & & \\ B_{32} & & & C_{32} & & & & & \\ B_{52} & & & & C_{52} & & & & \\ B_{62} & & & & & C_{62} & & & \\ B_{43} & & & & & & C_{43} & & \\ B_{53} & & & & & & & C_{53} & \\ B_{73} & & & & & & & & C_{73} \\ B_{83} & & & & & & & & C_{83} \\ B_{54} & & & & & & & & C_{54} \\ B_{64} & & & & & & & & & C_{64} \\ B_{84} & & & & & & & & & C_{84} \\ B_{94} & & & & & & & & & C_{94} \end{bmatrix}, L = \begin{bmatrix} F_{11} \\ F_{21} \\ F_{41} \\ F_{51} \\ F_{22} \\ F_{32} \\ F_{52} \\ F_{62} \\ F_{43} \\ F_{53} \\ F_{73} \\ F_{83} \\ F_{54} \\ F_{64} \\ F_{84} \\ F_{94} \end{bmatrix}$$

$$L = AX$$

$$X = (A^t A)^{-1} A^t L$$

24



روشهای مثلث بندی هوایی

۰ روش مدل مستقل

- روش دو مرحله ای
- M4 ۰

۰ بعد از مرحله M4 از رابطه زیر میتوان جهت به روز کردن مختصات مدلی استفاده کرد.

$$\begin{bmatrix} x_m \\ y_m \\ z_m \end{bmatrix}_{new} = \begin{bmatrix} a & b & 0 \\ -b & a & 0 \\ 0 & 0 & \sqrt{a^2 + b^2} \end{bmatrix} \begin{bmatrix} x_m \\ y_m \\ z_m \end{bmatrix}_{old} + \begin{bmatrix} c \\ d \\ 0 \end{bmatrix}$$

25

روشهای مثلث بندی هوایی

۰ روش مدل مستقل

- روش دو مرحله ای
- M3 ۰

۰ مدلها از نظر ارتفاعی نسبت به یکدیگر توجیه میشوند.

۰ مرکز تصویر مشترک در این مرحله بکار گرفته میشوند و معادلات آنها در کنار نقاط کنترل و گرهی استفاده میشوند.

$$\begin{bmatrix} X \\ Y \\ Z \end{bmatrix}_i = R_{\Omega, \Phi} \begin{bmatrix} x \\ y \\ z \end{bmatrix}_j + \begin{bmatrix} 0 \\ 0 \\ Z_T \end{bmatrix}_j$$

۰ با فرض کوچک بودن پارامترهای دورانی معادله زیر بدست می آید.

$$\begin{bmatrix} X \\ Y \\ Z \end{bmatrix} = \begin{bmatrix} 1 & 0 & \Delta\Phi \\ 0 & 1 & -\Delta\Omega \\ -\Delta\Phi & \Delta\Omega & 1 \end{bmatrix} \begin{bmatrix} x \\ y \\ z \end{bmatrix} + \begin{bmatrix} 0 \\ 0 \\ Z_T \end{bmatrix}$$

26

روشهای مثلث بندی هوایی

روش مدل مستقل

- روش دو مرحله‌ای

M3 °

معادلات نقاط کنترل:

$$[Z_i - z_j] = [y - x \quad 1]_j \begin{bmatrix} \Delta\Omega \\ \Delta\Phi \\ dZ_T \end{bmatrix}_j \quad F_j + V_j = B_j \cdot dP_j$$

معادلات نقاط گرهی

$$[-z_j] = [y - x \quad 1]_j \begin{bmatrix} \Delta\Omega \\ \Delta\Phi \\ dZ_T \end{bmatrix}_j - [Z]_i \quad F_j + V_j = B_j \cdot dP_j + C_j \cdot dZ_i$$

معادلات مرکز تصویر

$$\begin{bmatrix} -x \\ -y \\ -z \end{bmatrix}_j = \begin{bmatrix} 0 & z & 0 \\ -z & 0 & 0 \\ y & -x & 1 \end{bmatrix}_j \begin{bmatrix} \Delta\Omega \\ \Delta\Phi \\ dZ_T \end{bmatrix}_j - \begin{bmatrix} X \\ Y \\ Z \end{bmatrix}_i \quad F_j + V_j = B_j \cdot dP_j + C_j \cdot dX_i$$

27

روشهای مثلث بندی هوایی

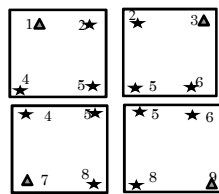
روش مدل مستقل

- روش دو مرحله‌ای

M3 °

مثال

- تعداد مجھولات: 23



پارامتر 3*مدل 4=12

(مختصات زمینی Z)*1=5

2*(مختصات زمینی 3)*مرکز تصویر مشترک=6

- تعداد معادلات: 28

(مرکز تصویر مشترک 1)*(گرهی 3)+کنترل 1: مدل اول = 7

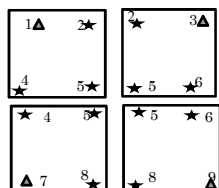
(مرکز تصویر مشترک 1)*(گرهی 3)+کنترل 1: مدل دوم = 7

(مرکز تصویر مشترک 1)*(گرهی 3)+کنترل 1: مدل سوم = 7

(مرکز تصویر مشترک 1)*(گرهی 3)+کنترل 1: مدل چهارم = 7

28

روشهای مثلث بندی هوایی



روش مدل مستقل

- روش دو مرحله‌ای

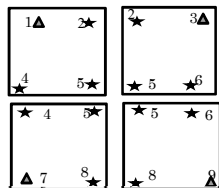
M3

مثال

$$\begin{aligned} [Z_i - z_{ij}] &= [y \quad -x \quad 1]_j \begin{bmatrix} \Delta\Omega \\ \Delta\Phi \\ dZ_r \end{bmatrix}_j \\ [-z]_j &= [y \quad -x \quad 1]_j \begin{bmatrix} \Delta\Omega \\ \Delta\Phi \\ dZ_r \end{bmatrix}_j - [Z]_j \\ \begin{bmatrix} -x \\ -y \\ -z \end{bmatrix}_j &= \begin{bmatrix} 0 & z & 0 \\ -z & 0 & 0 \\ y & -x & 1 \end{bmatrix}_j \begin{bmatrix} \Delta\Omega \\ \Delta\Phi \\ dZ_r \end{bmatrix}_j - \begin{bmatrix} X \\ Y \\ Z \end{bmatrix}_j \end{aligned}$$

29

روشهای مثلث بندی هوایی



روش مدل مستقل

- روش دو مرحله‌ای

M3

مثال

بردار مجھولابت

$$\Delta = [P_1 \ P_2 \ P_3 \ P_4 \ dZ_2 \ dZ_4 \ dZ_5 \ dZ_6 \ dZ_8 \ dX_{p1} \ dX_{p2}]$$

$$A = \begin{bmatrix} B_{11} & & & & & & & & & & & & & & & & \\ B_{21} & -1 & & & & & & & & & & & & & & & \\ B_{41} & & -1 & & & & & & & & & & & & & & \\ B_{51} & & & -1 & & & & & & & & & & & & & \\ B_{p11} & & & & -1 & & & & & & & & & & & & \\ B_{22} & & & & & -1 & & & & & & & & & & & \\ B_{32} & & & & & & -1 & & & & & & & & & & \\ B_{32} & & & & & & & -1 & & & & & & & & & \\ B_{62} & & & & & & & & -1 & & & & & & & & \\ B_{p12} & & & & & & & & & -1 & & & & & & & \\ B_{43} & & & & & & & & & & -1 & & & & & & \\ B_{53} & & & & & & & & & & & -1 & & & & & \\ B_{73} & & & & & & & & & & & & -1 & & & & \\ B_{83} & & & & & & & & & & & & & -1 & & & \\ B_{p23} & & & & & & & & & & & & & & -1 & & & \\ B_{54} & & & & & & & & & & & & & & & -1 & & \\ B_{64} & & & & & & & & & & & & & & & & -1 & & \\ B_{84} & & & & & & & & & & & & & & & & & -1 & \\ B_{p24} & & & & & & & & & & & & & & & & & & -1 \end{bmatrix}$$

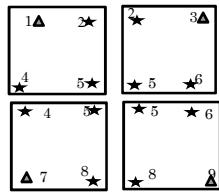
$$L =$$

$$\begin{bmatrix} L_{11} \\ L_{21} \\ L_{41} \\ L_{51} \\ L_{p11} \\ L_{22} \\ L_{32} \\ L_{52} \\ L_{62} \\ L_{p12} \\ L_{43} \\ L_{53} \\ L_{73} \\ L_{83} \\ L_{p23} \\ L_{54} \\ L_{64} \\ L_{84} \\ L_{94} \\ L_{p24} \end{bmatrix}$$

$$L = A \Delta$$

$$\Delta = (A^T A)^{-1} A^T L$$

30



روشهای مثلث بندی هوایی

روش مدل مستقل

- روش دو مرحله‌ای

M3 °

مثال

بعد از مرحله M3 از رابطه زیر میتوان مختصات مدلی را به روز کرد.

$$\begin{bmatrix} x_m \\ y_m \\ z_m \end{bmatrix}_{ij \text{ new}} = R_{\Omega_j, \Phi_j} \begin{bmatrix} x_m \\ y_m \\ z_m \end{bmatrix}_{ij \text{ old}} + \begin{bmatrix} 0 \\ 0 \\ Z_T \end{bmatrix}_j$$

31

روشهای مثلث بندی هوایی

Strip Adj. ° روشن

- وروودی در اینجا مختصات باندی میباشد.
- بعلت تاثیر خطاهای در هنگام اتصال مدلها و تشکیل باند، نمیتوان از کانفورمال بعدی برای اتصال باند به زمین استفاده کرد.³



- از پلی نومیال های مختلفی برای x, y و z استفاده میشود.
- هم به صورت سه بعدی و هم به صورت مسطحه‌ای و ارتفاعی سرشکنی میتواند انجام شود.

32

روشهای مثلث بندی هوایی

Strip Adj. روش ۰

- پلی نومیال پیشنهادی برای تصحیح خطاهای سیستماتیک در طول باند.

$$\Delta X = a_0 + a_1 \cdot X + a_2 \cdot X^2 - Y(b_1 + 2b_2 \cdot X) + Z(c_1 + 2c_2 \cdot X)$$

$$\Delta Y = b_0 + b_1 \cdot X + b_2 \cdot X^2 + Y(a_1 + 2a_2 \cdot X) + Z(d_1 + 2d_2 \cdot X)$$

سه بعدی:

$$\Delta Z = c_0 + c_1 \cdot X + c_2 \cdot X^2 + Y(d_1 + 2d_2 \cdot X) + Z(a_1 + 2a_2 \cdot X)$$

$$\Delta X = a_0 + a_1 \cdot X + a_2 \cdot X^2 - Y(b_1 + 2b_2 \cdot X)$$

$$\Delta Y = b_0 + b_1 \cdot X + b_2 \cdot X^2 + Y(a_1 + 2a_2 \cdot X)$$

مسطحاتی:

$$\Delta Z = c_0 + c_1 \cdot X + c_2 \cdot X^2 + Y(d_1 + 2d_2 \cdot X)$$

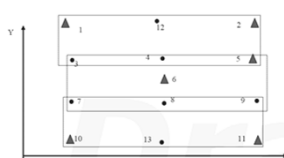
ارتفاعی:

33

روشهای مثلث بندی هوایی

Strip Adj. روش ۰

مثال:



- با استفاده از پلی نومیال های زیر بلوک فتوگرامتری
متتشکل از ۳ باند را از لحاظ مسطحاتی سرشکن کنید.

$$X = a_0 + a_1 \cdot x + a_2 \cdot x^2 - y(b_1 + 2b_2 \cdot x)$$

$$Y = b_0 + b_1 \cdot x + b_2 \cdot x^2 + y(a_1 + 2a_2 \cdot x)$$

- تعداد مجهولات: 28

$$= 6 * 3 = 18$$

$$= 2 * 5 = 10$$

- تعداد معادلات: 34

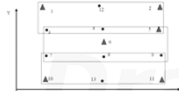
$$= 2 * 3 = 10$$

$$= 2 * 5 = 14$$

$$= 2 * 2 = 10$$

34

روشهای مثلث بندی هوایی



Strip Adj. روش

• مثال:

$$\begin{bmatrix} X \\ Y \end{bmatrix}_i = \begin{bmatrix} 1 & x & x^2 & 0 & -y & -2xy \\ 0 & y & 2xy & 1 & x & x^2 \end{bmatrix}_y \begin{bmatrix} a_0 \\ a_1 \\ a_2 \\ b_0 \\ b_1 \\ b_2 \end{bmatrix}_j \quad F_{ij} + V_{ij} = B_{ij} \cdot P_j$$

• معادلات نقاط کنترل:

$$\begin{bmatrix} 0 \\ 0 \end{bmatrix} = \begin{bmatrix} 1 & x & x^2 & 0 & -y & -2xy \\ 0 & y & 2xy & 1 & x & x^2 \end{bmatrix}_y \begin{bmatrix} a_0 \\ a_1 \\ a_2 \\ b_0 \\ b_1 \\ b_2 \end{bmatrix}_j - \begin{bmatrix} X \\ Y \end{bmatrix}_i \quad F_{ij} + V_{ij} = B_{ij} \cdot P_j + C_{ij} \cdot dX_i$$

• معادلات نقاط گرهی:

35

روشهای مثلث بندی هوایی



Strip Adj. روش

• مثال:

$$A = \begin{bmatrix} P_1 & P_2 & P_3 & XY_3 & XY_4 & XY_7 & XY_8 & XY_9 \end{bmatrix} \quad \Delta = (A^t A)^{-1} A^t L$$

$$A = \begin{bmatrix} B_{11} & & & & & & & \\ B_{21} & & & & & & & \\ B_{31} & & -I_{2 \times 2} & & & & & \\ B_{41} & & & -I_{2 \times 2} & & & & \\ B_{51} & & & & & & & \\ B_{32} & & -I_{2 \times 2} & & & & & \\ B_{42} & & & -I_{2 \times 2} & & & & \\ B_{52} & & & & & & & \\ B_{62} & & & & & & & \\ B_{72} & & & -I_{2 \times 2} & & & & \\ B_{82} & & & & -I_{2 \times 2} & & & \\ B_{92} & & & & & -I_{2 \times 2} & & \\ B_{73} & & & & & & -I_{2 \times 2} & \\ B_{83} & & & & & & & -I_{2 \times 2} \\ B_{93} & & & & & & & \\ B_{10,3} & & & & & & & \\ B_{11,3} & & & & & & & \end{bmatrix}, L = \begin{bmatrix} F_{11} \\ F_{21} \\ F_{31} \\ F_{41} \\ F_{51} \\ F_{32} \\ F_{42} \\ F_{52} \\ F_{62} \\ F_{72} \\ F_{82} \\ F_{92} \\ F_{73} \\ F_{83} \\ F_{93} \\ F_{10,3} \\ F_{11,3} \end{bmatrix}$$

36